

## Photorefractive Keratectomy Eyes for Preparation of Pre-cut Endothelial Keratoplasty Tissues

Rezaei Kanavi M, MD<sup>1,2\*</sup>; Fahim P, MS<sup>2</sup>; Rahamanian M, MS<sup>2</sup>; Chamani T, MS<sup>2</sup>; Kheiri B, MS<sup>3</sup>; Javadi MA, MD<sup>2,3</sup>

<sup>1</sup>Ocular Tissue Engineering Research Center, Shahid Beheshti University of Medical Sciences, Tehran, Iran; <sup>2</sup>Central Eye Bank of Iran, Tehran, Iran; <sup>3</sup>Ophthalmic Research Center, Shahid Beheshti University of Medical Sciences, Tehran, Iran  
Corresponding author: mrezaie47@yahoo.com

**Purpose:** This study reported preparation and thickness profiles of pre-cut endothelial keratoplasty tissues in donated photorefractive keratectomy (PRK) eyes.

**Methods:** Precut tissues for endothelial keratoplasty were dissected from PRK donor whole eyes by using Moria microkeratome at the Central Eye Bank of Iran. The tissues were then subjected to specular microscopy and Visante optical coherence tomography. Endothelial cell density (ECD) and thickness measurements of the precut tissues were evaluated. Additionally, eye bank post-operative reports of the transplanted corresponding endothelial tissues were reviewed.

**Results:** Between October 2015 and March 2016, 25 donor whole eyes from 14 sero-negative donors with the diagnosis of prior PRK were dissected to provide precut endothelial keratoplasty lenticles. The mean central thickness of the precut tissues was  $128 \pm 34 \mu\text{m}$ . A mean increase of  $26.2 \mu\text{m}$  was observed from central to pericentral parts of the precut tissues. The mean increase of thickness from central to peripheral locations was  $90.4 \mu\text{m}$ . There was a statistical difference in the mean increase of thickness between 2 peripheral locations ( $P = 0.047$ ). All the precut tissues had a very good to excellent endothelial rating with the mean ECD of  $3164.6 \pm 311.0 \text{ cell/mm}^2$ . On review of the postoperative reports, all the corresponding precut tissues were transplanted uneventfully and none of the reports indicated posterior flap detachment or loss of graft clarity.

**Conclusion:** Thin precut tissues with high endothelial cell density can be successfully prepared from donated PRK whole eyes for endothelial keratoplasty. The increase of thickness towards peripheral locations of the precut tissues, despite being statistically asymmetric, was not clinically significant.

**Keywords:** Endothelial Keratoplasty, Microkeratome, Photorefractive Keratectomy

• Bina J Ophthalmol 2017; 22 (4): 269-275.

Received: 2 December 2016

Accepted: 21 January 2017

## تهیه بافت‌های از پیش برش داده شده برای کراتوپلاستی اندوتیال از کره‌های چشم اهدایی با سابقه عمل جراحی کراتکتومی فوتورفراکتیو

دکتر مژگان رضایی کنوی<sup>۱</sup>, پژمان فیمیم<sup>۲</sup>, محسن رحمانیان<sup>۳</sup>, طاهره چمنی<sup>۳</sup>, بهار خیری<sup>۳</sup>, دکتر محمدعلی جوادی<sup>۴\*</sup>

**هدف:** گزارش تهیه و بررسی ضخامت بافت‌های از پیش برش داده شده برای کراتوپلاستی اندوتیال از چشم اهدائندگان با سابقه جراحی قبلی کراتکتومی فوتورفراکتیو (PRK).

**روش پژوهش:** بافت‌های مورد نیاز برای کراتوپلاستی اندوتیال از کره چشم اهدائندگان با سابقه جراحی قبلی PRK با استفاده از میکروکراتوم Moria در بانک چشم جمهوری اسلامی ایران جداسازی و با میکروسکوپ چشمی و توموگرافی ویزانه مورد بررسی قرار گرفتند. تراکم سلول‌های اندوتیال و ضخامت بافت‌های از پیش برش داده شده برای کراتوپلاستی اندوتیال ارزیابی شد. علاوه بر این، گزارشات پس از عمل بانک چشم مربوط به پیوند بافت‌های اندوتیال نیز مورد بررسی قرار گرفت.

**یافته‌ها:** از مهر ماه ۱۳۹۴ تا فروردین ماه ۱۳۹۵، ۲۵ چشم کامل اهدایی از ۱۴ دهنده سرولوژی منفی با تشخیص PRK تحت برش برای تهیه لنستکول‌های از پیش برش داده شده برای پیوند لایه اندوتیوم قرار گرفتند. میانگین ضخامت مرکزی بافت‌های

از پیش برش داده شده  $128 \pm 34 \mu\text{m}$  بود. میانگین افزایش ضخامت از مرکز تا قسمت‌های فرامرکزی بافت‌های از پیش برش داده شده، ۲۶/۲ میکرومتر و میانگین افزایش ضخامت از نواحی مرکزی تا محیطی، ۹۰/۴ میکرومتر بود. میانگین افزایش ضخامت بین دو ناحیه محیطی به لحاظ آماری متفاوت بودند ( $P=0.047$ ). همه بافت‌های از پیش برش داده شده دارای کیفیت خیلی خوب تا عالی اندوتلیوم با میانگین تراکم سلولی  $3110 \text{ cell/mm}^2 \pm 3164/6$  بودند. در بررسی گزارش‌های پس از عمل، همه بافت‌های از پیش برش داده شده در این مطالعه، بدون عارضه پیوند شدند و هیچ گزارشی مبنی بر جداسدگی فلپ خلفی و یا از بین رفتن شفافیت بافت پیوندی ارایه نشد.

**نتیجه‌گیری:** از چشم‌های اهداکنندگان با سابقه PRK قبلی می‌توان به طور موافق آمیزی بافت‌های از پیش برش داده شده نازک و با تراکم بالای سلول‌های اندوتلیوم برای کراتوپلاستی اندوتلیال را تهیه نمود. افزایش ضخامت به سمت نواحی محیطی بافت‌های از پیش برش داده شده، از نظر آماری نامتقارن ولی از نظر بالینی قابل توجه نبودند.

• مجله چشمپرشکی بینا؛ ۱۳۹۶؛ ۲۲، شماره ۴: ۲۷۵-۲۶۹.

• پاسخ‌گو: دکتر مژگان رضایی کنوی (e-mail: mrezaie47@yahoo.com)

دریافت مقاله: ۱۲ آذر ۱۳۹۵

تایید مقاله: ۲ بهمن ۱۳۹۵

۱- دانشیار- چشمپرشک- مرکز تحقیقات مهندسی بافت چشم- دانشگاه علوم پزشکی شهید بهشتی- تهران- ایران

۲- کارشناس بانک چشم- بانک چشم جمهوری اسلامی ایران- تهران- ایران

۳- کارشناس ارشد آمار حیاتی- مرکز تحقیقات چشم- دانشگاه علوم پزشکی شهید بهشتی- تهران- ایران

۴- استاد- چشمپرشک- مرکز تحقیقات چشم- دانشگاه علوم پزشکی شهید بهشتی- تهران- ایران

تهران- پاسداران- بوستان نهم- خیابان پایدارفرد (خیابان امیر ابراهیمی)- پلاک ۲۳- مرکز تحقیقات مهندسی بافت چشم

خوب تا عالی اندوتلیوم دارند، واحد شرایط برای استفاده در پیوند لایه اندوتلیوم می‌باشند. مشیرفر و همکاران<sup>۱۵</sup>، برای اولین بار تهیه لنتیکول‌های اندوتلیال از پیش برش داده شده برای DSAEK را از اهداکنندگان با سابقه قبلي PRK گزارش کردند و اظهار نمودند که از دهنده‌گان با سابقه PRK می‌توان بافت مناسبی با برش به وسیله میکروکراتوم تهیه نمود. در این مطالعه تهیه لنتیکول‌های پیوند اندوتلیوم از کره‌های چشم اهدایی با سابقه PRK در بانک چشم جمهوری اسلامی ایران و ضخامت‌های مربوط به آن‌ها مورد بررسی قرار گرفت.

### روش پژوهش

در یک مطالعه گذشته‌نگر، در فاصله زمانی مهر ۱۳۹۵ تا فروردین ۱۳۹۶، کره‌های چشم اهداکنندگان از نظر PRK در بانک چشم جمهوری اسلامی ایران مورد بررسی قرار گرفت. نتایج آزمایشات سرولوژی دهنده‌گان، منفی و فاصله زمانی بین مرگ تا هنگام اهداء، کمتر از ۲۴ ساعت بود. براساس مصاحبه خانوادگی، اهداکنندگان هیچ سابقه یا تاریخچه‌ای از عمل جراحی انکساری قبلی نداشتند. پیش از شروع مطالعه، تاییدیه اخلاقی انجام تحقیق از هیئت نظارت نهادی بانک چشم جمهوری اسلامی ایران و کمیته اخلاق مرکز تحقیقات چشم دانشگاه پزشکی شهید بهشتی کسب گردید.

### مقدمه

پیوند لایه اندوتلیوم قرنیه تحت عنوان Descemet Stripping Endothelial Keratoplasty (DSAEK) با تسريع روند بهبودی پس از عمل، رایج‌ترین روش پیوند قرنیه برای درمان انواع مختلف بیماری‌های اندوتلیال قرنیه و جایگزین مناسبی برای پیوند نفوذی متداول قرنیه می‌باشد<sup>۱-۷</sup>. آمده‌سازی لنتیکول‌های اندوتلیال از پیش برش داده شده با استفاده از میکروکراتوم از کره چشم و یا دیسک‌های جدا شده قرنیه - اسکلرا<sup>۸-۱۱</sup> در بانک‌های چشم، طول مدت عمل جراحی و هم‌چنین بیهوشی را کوتاه کرده است<sup>۱۲</sup>.

اگرچه اطلاعات آماری در مورد شیوع جراحی‌های انکساری قرنیه در ایران وجود ندارد، تصور ما بر این است که میان اهداکنندگان قرنیه، افرادی هستند که پیش‌تر عمل جراحی اصلاح عیوب انکساری چشم را انجام داده‌اند. با توجه به استانداردهای پزشکی بانک‌های چشم جمهوری اسلامی ایران، مشابه آنچه که توسط انجمن بانک‌های چشم آمریکا اظهار شده<sup>۱۴</sup>، قرنیه‌های اهدایی دارای اختلالات غیرعفونی لایه‌های قدامی قرنیه، می‌توانند برای تهیه لنتیکول‌های اندوتلیال از پیش برش داده شده مورد استفاده قرار گیرند، به شرطی که لایه‌های استرومای خلفی و اندوتلیوم دست نخورده باقی بمانند. بنابراین قرنیه‌های اهداکنندگان با جراحی انکساری قبلی، ترجیحاً افرادی که قبل از قرار گرفته و کیفیت خیلی Photorefractive Keratectomy (PRK)

Meditec, Inc., Dublin, CA, USA) به منظور اندازه‌گیری ضخامت‌های لنتیکول اندوتیال از پیش برش داده شده در نواحی مرکزی، فرا مرکزی و محیطی قرار گرفت.<sup>۲</sup> متوسط فاصله زمانی بین قرار گرفتن بافت در محلول نگهدارنده Optisol GS و انجام OCT، ۱۴ ساعت و دامنه آن ۱۶-۱۲ ساعت بود. اندازه‌گیری ضخامت قرنیه در مرکز قرنیه، دو قسمت فرامرکزی و دو قسمت محیطی صورت گرفت.

### تحلیل آماری

مقدادیر شاخص‌های سلول‌های اندوتیوم و ضخامت لنتیکول‌های از پیش برش داده شده اندوتیال به صورت میانگین و انحراف معیار ارایه گردیدند. معادله برآورد تعییم یافته برای تحلیل رابطه بین دو چشم هر اهداکننده، مورد استفاده قرار گرفت. مقایسات چندگانه بر روی اطلاعات پروفایل ضخامت لنتیکول‌های خلفی توسط آزمون Bonferroni تنظیم شد. تمام تحلیل‌های آماری به وسیله نرم‌افزار SPSS ویرایش ۲۲، Inc., (SPSS, Inc., Chicago, IL, USA) صورت گرفت و مقدار P کمتر از ۰/۰۵ از لحاظ آماری، معنی‌دار در نظر گرفته شد. گزارشات پس از عمل لنتیکول‌های پیوند شده نیز ثبت گردیدند.

### یافته‌ها

در فاصله زمانی مهر ماه ۱۳۹۴ تا فروردین ماه ۱۳۹۵، ۱۴۷۱ چشم اهداشده از ۲۹۲۹ اهداکننده، از نظر PRK غربالگری شدند. از این تعداد، ۲۵ چشم (۰/۸۵ درصد) از ۱۴ دهنده، در معاینه با اسلیت‌لمپ دارای ناحیه دیسکی شکل مدور و مه‌آلودی در ۸ میلی‌متر مرکزی قرنیه که نشان‌دهنده عمل PRK قبلی است، بودند. براساس مصاحبه خانوادگی، هیچ یک از موارد، سابقه یا تاریخچه‌ای از عمل انکساری قبلی نداشتند. میانگین سن اهداکنندگان PRK شده، ۳۳/۸±۸/۴ سال (دامنه ۲۱-۵۸ سال) و ۵۷/۱ درصد آن‌ها مرد بودند. در ۳ نفر از دهنندگان PRK شده، از هر دهنده یک چشم تحت برش قرار گرفته بود. لنتیکول کراتوپلاستی اندوتیوم به طور موفقیت‌آمیزی از تمام چشم‌های PRK شده تهیه گردید و هیچ مورد سوراخ‌شدگی قرنیه طی برش با میکروکراتوم رخ نداد.

خصوصیات اهداکنندگان و اطلاعات فرآوری لنتیکول‌های خلفی و نیز پروفایل ضخامت لنتیکول‌های خلفی اهداکنندگان PRK که به وسیله V-OCT اندازه‌گیری شد در جداول ۱ و ۲ و تصویر ۱ نمایش داده شده‌اند. میانگین ضخامت مرکز قرنیه که به

### بررسی چشم‌های اهدا شده از نظر PRK

ابتدا چشم‌های اهدا شده، با اسلیت‌لمپ بیومیکروسکوپی از نظر وجود هرگونه تغییر در قرنیه مورد بررسی قرار گرفتند. قرنیه‌های دارای اسکار محیطی لیزیک، از مطالعه حذف شدند. غربالگری چشم‌های اهدا شده از نظر PRK قبلی، قبلًاً توصیف شده است.<sup>۱۶</sup> پس از غوطه‌ور شدن چشم‌ها در بتادین ۳ درصد برای ۳ دقیقه و شستشو با نرمال سالین ۰/۹ درصد، قرنیه‌ها مجددًاً با اسلیت‌لمپ بیومیکروسکوپی از نظر وجود ناحیه دیسکی شکل مدور و مه‌آلود در ۸ میلی‌متری مرکز قرنیه که نشان‌دهنده عمل PRK قبلی بود، ارزیابی شدند. قرنیه‌های PRK که براساس معاینات اسلیت‌لمپ کیفیت اندوتیوم خیلی خوب تا عالی داشتند، برای تهیه لنتیکول‌های اندوتیال از پیش برش داده شده مورد استفاده قرار گرفتند.

### تهیه لنتیکول پیوند اندوتیوم

کره‌های چشم PRK شده به منظور تهیه بافت موردنظر برای توشیط کارشناس آموزش‌دهیده با نک چشم به روش میکروکراتوم دستی (Moria S. A 65073, Antony, France)، که قبلاً شرح داده شده است<sup>۱۰</sup>، برش داده شدند. به طور خلاصه، لایه اپی‌تلیوم قرنیه تحت شرایط استریل و با استفاده از میکروسکوپ جراحی (Topcon, OMS 90, Tokyo, Japan)، برداشته شد و گاز استریل محکم به دور کره چشم پیچیده شد. از ناحیه لیمبوس به سمت مرکز قرنیه علامت‌گذاری و ناحیه لیمبوسکلرای کره چشم وکیوم گردید. پس از اندازه‌گیری فشار داخل چشم توسط تونومتر mmHg (Ocular Instruments, Bellevue, WA, USA) و تنظیم Barraquer ۶۵-۹۰ و تنظیم فشار داخل چشم در حدود ۹۰ میلی‌متر جبوه، ضخامت مرکز قرنیه توسط پاکی‌متر SP-۱۰۰ Ultrasonic Pachymetry (USP) (Tomey Ultrasonique دستی GmbH, Erlangen, Germany) اندازه‌گیری شد. براساس اندازه ضخامت به دست آمده، سر میکروکراتوم، ۳۵۰ یا ۴۰۰ میکرومتری انتخاب گردید و به منظور ایجاد فلپ قدامی قرنیه، از روی قرنیه عبور داده شد. پس از آن با استفاده از چاقوی هلالی لاملای استرومای قدامی در قسمت محیطی نقب زده شد و بر اساس علامت‌گذاری صورت گرفته، فلپ قدامی قرنیه بر روی بستر استرومای خلفی قرار گرفت. پس از برداشتن دیسک قرنیه-صلبیه و قرار دادن آن در محلول نگهدارنده Optisol GS (Bausch and Lomb, Irvine, CA, USA)، قرنیه تحت ارزیابی با اسپکولار میکروسکوپی برای شمارش سلول‌های اندوتیوم و هم‌چنین (Carl Zeiss Visante Optical Coherence Tomography (V-OCT)

ضخامت را از مرکز قرنیه به سمت نواحی محیطی نشان داد. میانگین افزایش ضخامت در نواحی فرامرکزی، ۲۶/۲ میکرومتر و در مناطق محیطی، ۹۰/۴ میکرومتر بود. میانگین افزایش ضخامت بین دو ناحیه فرامرکزی تفاوت معنی داری از نظر آماری نداشت (۰/۱۰۲ = P و ۳۳/۶ میکرومتر در مقابل ۱۸/۸ میکرومتر) ولی در دو منطقه محیطی به لحاظ آماری متفاوت بود (۰/۰۴۷ = P و ۱۰/۸ میکرومتر در مقابل ۷۹/۵ میکرومتر).

وسیله USP اندازه گیری شد،  $653 \pm 72$  میکرومتر (دامنه: ۷۶۲-۵۲۰) و عمق برش اندازه گیری شده به وسیله V-OCT (ضخامت فلپ قدامی)، ۳۹۵ تا ۶۰۷ میکرومتر (میانگین  $472/9 \pm 46/1$  میکرومتر) بود. میانگین ضخامت مرکزی لنتیکول خلفی اندازه گیری شده با V-OCT پس از برش میکروکراتوم و انتقال به محلول نگهدارنده Optisol GS ( $128 \pm 34$  میکرومتر (دامنه: ۱۸۲-۵۶ میکرومتر) بود. پروفایل ضخامت لنتیکول های خلفی افزایش

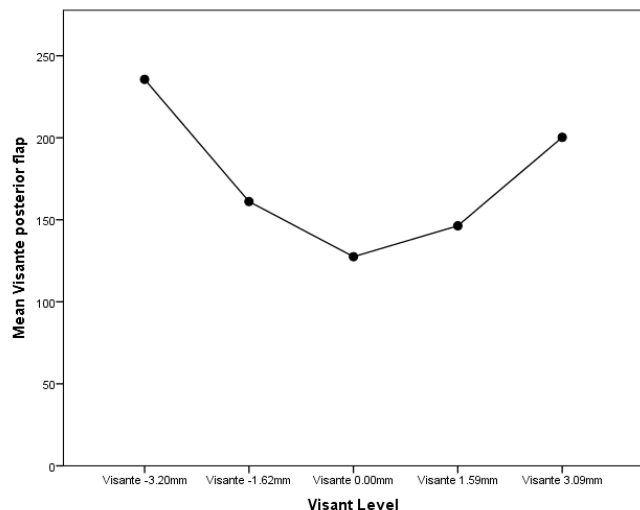
جدول ۱- مشخصات دهندگان قرنیه های اهدایی با PRK قبلی

| شماره مورد | سن | جنسیت | ضخامت مرکز قرنیه (میکرومتر)* | اندازه سر میکروکراتوم | ضخامت مرکزی لنتیکول خلفی (میکرومتر)** | اندازه سر میکروکراتوم | ضخامت مرکز قرنیه های اهدایی با PRK قبلی | چشم چپ | چشم راست | چشم چپ | چشم راست | چشم چپ | چشم راست | چشم چپ |
|------------|----|-------|------------------------------|-----------------------|---------------------------------------|-----------------------|---|--------|----------|--------|----------|--------|----------|--------|
| ۴۷۸        | ۲۸ | ذکر   | ۵۷۰                          | ۷۹                    | ۷۳                                    | ۴۰۰                   | ۴۰۰                                     | ۵۹۰    | ۵۷۰      | ۷۳     | ۴۰۰      | ۴۰۰    | ۵۷۰      | ۷۶۲    |
| ۴۴۰        | ۳۰ | ذکر   | ۷۶۰                          | ۱۲۲                   | ۱۶۵                                   | ۴۰۰                   | ۴۰۰                                     | ۷۱۷    | ۷۶۰      | ۱۲۰    | ۴۰۰      | ۴۰۰    | ۷۱۷      | ۵۲۰    |
| ۴۲۶        | ۲۷ | ذکر   | ۶۵۰                          | ۱۸۰                   | ۱۲۳                                   | ۳۵۰                   | ۳۵۰                                     | ۶۰۵    | ۶۵۰      | ۱۲۳    | ۳۵۰      | ۳۵۰    | ۶۰۵      | ۴۷۲    |
| ۴۴۹        | ۵۳ | ذکر   | -                            | ۱۰۳                   | -                                     | ۳۵۰                   | -                                       | ۵۰۰    | -        | ۱۰۳    | -        | -      | -        | ۴۶۵    |
| ۴۹۰        | ۴۷ | مونت  | ۷۳۲                          | ۱۱۳                   | ۱۴۲                                   | ۴۰۰                   | ۴۰۰                                     | ۷۶۲    | ۷۳۲      | ۱۱۳    | ۴۰۰      | ۴۰۰    | ۷۶۲      | ۴۹۰    |
| ۴۸۸        | ۳۰ | ذکر   | ۷۳۰                          | ۱۶۴                   | -                                     | ۳۵۰                   | -                                       | ۷۳۰    | -        | ۱۶۴    | -        | -      | -        | ۴۸۸    |
| ۴۲۳        | ۲۲ | مونت  | ۶۳۸                          | ۱۲۱                   | ۱۴۵                                   | ۳۵۰                   | ۳۵۰                                     | ۶۲۳    | ۶۳۸      | ۱۲۱    | ۳۵۰      | ۳۵۰    | ۶۲۳      | ۴۲۳    |
| ۵۱۸        | ۳۷ | ذکر   | ۷۴۰                          | ۹۵                    | ۱۶۰                                   | ۳۵۰                   | ۴۰۰                                     | ۶۱۰    | ۷۴۰      | ۹۵     | ۴۰۰      | ۴۰۰    | ۶۱۰      | ۵۱۸    |
| ۴۷۳        | ۳۰ | ذکر   | ۶۲۰                          | ۵۶                    | ۱۲۴                                   | ۳۵۰                   | ۳۵۰                                     | ۵۲۰    | ۶۲۰      | ۵۶     | ۳۵۰      | ۳۵۰    | ۵۲۰      | ۴۷۳    |
| ۵۰۲        | ۳۲ | مونت  | ۷۰۱                          | ۱۲۹                   | ۱۵۹                                   | ۴۰۰                   | ۴۰۰                                     | ۷۰۵    | ۷۰۱      | ۱۲۹    | ۴۰۰      | ۴۰۰    | ۷۰۵      | ۵۰۲    |
| ۵۴۹        | ۲۹ | مونت  | ۶۱۰                          | ۱۱۶                   | ۱۴۳                                   | ۴۰۰                   | ۳۵۰                                     | ۷۱۰    | ۶۱۰      | ۱۱۶    | ۴۰۰      | ۴۰۰    | ۷۱۰      | ۵۴۹    |
| ۴۹۲        | ۴۰ | مونت  | ۶۵۰                          | ۱۱۶                   | ۹۷                                    | ۴۰۰                   | ۴۰۰                                     | ۶۶۰    | ۶۵۰      | ۱۱۶    | ۴۰۰      | ۴۰۰    | ۶۶۰      | ۴۹۲    |
| ۴۰۷        | ۳۷ | ذکر   | ۶۵۰                          | ۱۸۲                   | ۹۲                                    | ۳۵۰                   | ۴۰۰                                     | ۵۵۰    | ۶۵۰      | ۱۸۲    | ۴۰۰      | ۴۰۰    | ۵۵۰      | ۴۰۷    |
| ۴۹۲        | ۳۳ | مونت  | ۷۰۰                          | -                     | -                                     | -                     | -                                       | -      | -        | -      | -        | -      | -        | ۴۹۲    |

\* اندازه گیری شده با پاکی متری اولتراسوند، \*\* اندازه گیری شده با توموگرافی ویزانته.

جدول ۲- پروفایل ضخامتی لنتیکول های خلفی قرنیه های PRK اندازه گیری شده با ۵ موقعیت

| شماره مورد | مرکز | فرامرکزی ۱ (۱/۵۹ میلی متری) | فرامرکزی ۲ (۱/۶۲ میلی متری) | محیطی ۱ (۳/۰۹ میلی متری) | محیطی ۲ (۰/۲۰ میلی متری) | چشم چپ | چشم راست | چشم چپ |    |
|------------|------|-----------------------------|-----------------------------|--------------------------|--------------------------|--------|----------|--------|----------|--------|----------|--------|----------|--------|----|
| ۲۱۴        | ۷۳   | ۷۹                          | ۱۳۸                         | ۱۶۱                      | ۹۷                       | ۱۶۱    | ۱۳۸      | ۸۰     | ۸۷       | ۷۹     | ۷۳       | ۷۳     | ۷۳       | ۷۳     | ۱  |
| ۱۹۸        | ۱۶۵  | ۱۳۲                         | ۱۷۵                         | ۱۹۰                      | ۱۶۷                      | ۱۹۰    | ۱۷۵      | ۱۵۸    | ۱۳۲      | ۱۶۵    | ۱۶۵      | ۱۶۵    | ۱۶۵      | ۱۶۵    | ۲  |
| ۲۱۵        | ۱۲۳  | ۱۳۵                         | ۲۰۸                         | ۱۶۸                      | ۲۸۸                      | ۱۶۸    | ۱۳۵      | ۲۰۸    | ۱۹۱      | ۱۸۰    | ۱۲۳      | ۱۲۳    | ۱۲۳      | ۱۲۳    | ۳  |
| ۴۶۹        | -    | ۱۰۴                         | -                           | ۱۵۸                      | -                        | -      | ۱۰۴      | -      | -        | ۱۰۳    | -        | -      | -        | -      | ۴  |
| ۲۱۲        | ۱۴۲  | ۱۳۴                         | ۱۲۸                         | ۱۸۱                      | ۱۷۲                      | ۱۸۱    | ۱۵۰      | ۱۲۸    | ۱۳۴      | ۱۱۳    | ۱۴۲      | ۱۴۲    | ۱۴۲      | ۱۴۲    | ۵  |
| ۲۰۳        | -    | ۱۶۴                         | ۳۵۶                         | -                        | ۱۶۵                      | -      | ۲۵۶      | -      | -        | ۱۶۴    | -        | -      | -        | -      | ۶  |
| ۲۲۲        | ۱۴۵  | ۱۳۱                         | ۱۴۳                         | ۱۴۹                      | ۲۰۴                      | ۱۶۶    | ۱۵۲      | ۱۴۳    | ۱۶۴      | ۱۳۱    | ۱۴۵      | ۱۴۵    | ۱۴۵      | ۱۴۵    | ۷  |
| ۳۱۵        | ۱۶۰  | ۱۳۰                         | ۲۱۰                         | ۱۸۵                      | ۱۶۶                      | ۱۵۷    | ۲۱۰      | ۱۰۳    | ۱۵۰      | ۹۵     | ۱۶۰      | ۱۶۰    | ۱۶۰      | ۱۶۰    | ۸  |
| ۱۱۲        | ۱۲۴  | ۱۳۵                         | ۱۳۵                         | ۹۷                       | ۱۹۱                      | ۶۹     | ۱۴۶      | ۶۸     | ۱۳۵      | ۵۶     | ۱۲۴      | ۹۹     | ۹۹       | ۹۹     | ۹  |
| ۲۵۱        | ۱۵۹  | ۱۳۹                         | ۱۷۹                         | ۲۵۵                      | ۲۳۶                      | ۱۸۱    | ۱۸۳      | ۱۶۴    | ۱۷۹      | ۱۳۹    | ۱۵۹      | ۱۵۹    | ۱۵۹      | ۱۵۹    | ۱۰ |
| ۱۵۴        | ۱۴۳  | ۱۱۶                         | ۲۵۱                         | ۲۰۵                      | ۱۸۰                      | ۱۲۲    | ۱۸۹      | ۱۳۹    | ۱۶۱      | ۱۱۶    | ۱۴۳      | ۱۴۳    | ۱۴۳      | ۱۴۳    | ۱۱ |
| ۲۵۰        | ۹۷   | ۱۱۶                         | ۲۰۲                         | ۱۷۱                      | ۲۱۷                      | ۱۷۳    | ۱۰۱      | ۱۰۷    | ۱۲۶      | ۱۱۶    | ۹۷       | ۹۷     | ۹۷       | ۹۷     | ۱۲ |
| ۲۲۳        | ۹۲   | ۱۱۵                         | ۲۱۶                         | ۲۳۶                      | ۱۶۵                      | ۱۴۶    | ۱۹۶      | ۱۷۸    | ۱۱۵      | ۱۸۲    | ۱۳       | ۱۳     | ۱۳       | ۱۳     | ۲  |
| ۲۸۰        | -    | ۱۰۶                         | ۲۴۴                         | -                        | ۲۲۳                      | -      | ۲۰۶      | -      | -        | ۱۵۹    | -        | -      | -        | -      | ۱۴ |



تصویر ۱- منحنی ضخامت متوسط لنتیکول های خلفی قرنیه های PRK در ۵ موقعیت در Visante optical coherence tomography (V-OCT) که نشان دهنده افزایش میانگین ضخامت از نواحی مرکزی به محیطی و اختلاف میانگین های ضخامت بین دو موقعیت محیطی می باشد.

شد. در مقابل، در مطالعه اخیر منتشر شده توسط بانک چشم<sup>۱۸</sup>، این افزایش ضخامت در لنتیکول هایی که از چشم دهنده های PRK نشده تهیه شده بودند، متقارن بود. از آنجایی که روش آماده سازی لنتیکول های کراتوپلاستی اندولیال از چشم های PRK شده مشابه چشم های PRK نشده بود، ممکن است Ablation سطحی به کار رفته برای جراحی PRK بر برش میکروکراتوم و بروز برش های نامتقارن در بافت اثر گذاشته باشد.

در بانک چشم جمهوری اسلامی ایران، تعداد بافت های از پیش برش داده شده مورد استفاده برای DSAEK طی دهه گذشته افزایش روند را از صفر مورد در سال ۱۳۸۶ تا ۱۴۲۴ مورد در سال ۱۳۹۲ (۱۳) و ۱۷۳۳ مورد در سال ۱۳۹۴ نشان می دهد (داده ها منتشر نشده است). جهت پاسخگویی به این افزایش تقاضا برای لنتیکول های از پیش برش داده شده برای کراتوپلاستی اندولیال، قرنیه های اهدایی که پاتولوژی غیر عرفونی قدامی قرنیه بدون درگیری استرومای خلفی و اندولیوم داشتند<sup>۱۹</sup>، مانند قرنیه های اهدایی با جراحی قبلی PRK، نیز برای این منظور در بانک چشم جمهوری اسلامی ایران با موفقیت مورد استفاده قرار گرفته اند. اگرچه مشخصات بافت PRK از پیش برش داده شده برای DSAEK نشان دهنده افزایش نامتقارن و معنی دار ضخامت به سمت نواحی محیطی بود، این افزایش به لحاظ بالینی قابل توجه نبوده و اثری بر شفافیت یا چسبندگی پیوند نداشت. مشاهده چنین تغییرات ضخامت در زمانی که برش به روش دستی انجام می گیرد قابل انتظار است. تجزیه و تحلیل اثر پروفایل ضخامتی لنتیکول های

میانگین شمارش سلول های اندولیوم، درصد پلی مگانیسم و درصد سلول های شش ضلعی (هگزاگونالیتی) و متوسط مساحت سلولی در بافت های از پیش برش داده شده اندولیال از چشم های PRK به ترتیب  $39/4 \pm 6/9$ ,  $3164/6 \pm 311$  cells/mm<sup>2</sup> و  $50/5 \pm 11/3$  پس از عمل جراحی، پیوندهای اندولیوم بدون عارضه و جداسدگی فلپ خلفی و یا از دست دادن شفافیت در لنتیکول های پیوند بودند.

## بحث

طی دوره ۶ ماهه توسط ۲۹۲۹ چشم اهدایی به بانک چشم جمهوری اسلامی ایران، برای ۲۵ چشم بر اساس یک روش غربالگری با حساسیت و ویژگی بالا تشخیص PRK قبلی مطرح شد<sup>۱۶</sup>. از چشم های PRK شده می توان با استفاده از میکروکراتوم، لنتیکول های نازکی با کیفیت بالای اندولیوم برای کراتوپلاستی اندولیال تهیه نمود. اگرچه اطلاعات منتشر شده ای مبنی بر شیوع جراحی های عیوب انکساری قرنیه در ایران وجود ندارد<sup>۱۷</sup>، با توجه به این که PRK بیشترین سهم از جراحی های عیوب انکساری را به خود اختصاص می دهد، انتظار می رود در آینده تعداد اهدائندگان چشم با PRK قبلی رو به افزایش باشد.

یکی از یافته های اصلی در مطالعه حاضر، افزایش غیر متقاضان ضخامت از قسمت مرکزی به بخش های محیطی لنتیکول های کراتوپلاستی اندولیال بود که از چشم های دهنده PRK شده تهیه

میتومایسین ۰/۰۲ درصد بر روی استرومای قرنیه مشاهده شده است.<sup>۱۹-۲۰</sup> در سایر مطالعات، درمان کوتاه‌مدت با میتومایسین ۰/۰۲ درصد، تاثیری بر تعداد سلول‌های اندوتیال قرنیه نداشته است.<sup>۲۱-۲۲</sup> در مطالعه ما، کیفیت اندوتیوم قرنیه‌های PRK شده، بسیار خوب تا عالی بودند و احتمال بروز عوارض جانبی و ماندگار میتومایسین ۰ در اندوتیوم قرنیه بعيد به نظر می‌رسد. علاوه بر انتخاب قرنیه‌های با کیفیت بالای اندوتیال، توجیه دیگر کیفیت خیلی خوب قرنیه‌های برش داده شده با میکروکراتوم، می‌تواند تکنیک منحصر به فرد مورد استفاده در بانک چشم جمهوری اسلامی ایران باشد.<sup>۸</sup> در این روش، بافت برش داده شده توسط اتاق قدامی کره چشم دهنده حمایت شده و خطرات دستکاری بافت و از دست رفتن سلول‌های اندوتیال قرنیه کمتر است.

در این مطالعه، محدودیت‌هایی وجود داشت. از آنجایی که این مطالعه گذشته‌نگر بوده، به طور عمده براساس اطلاعات بانک چشم طراحی شده است. به علاوه دسترسی به اطلاعات بیماران پس از عمل جراحی مانند مسطح شدن قرنیه پیوندی، Hyperopic Shift، اندازه‌گیری‌های OCT V-OCT و تراکم سلول اندوتیال لنتیکول‌های جراحی شده محدود بود.

### نتیجه‌گیری

به دلیل بالا بودن میزان موفقیت و محبوبیت PRK در ایران، میزان چشم‌های اهدایی با سابقه قبلی PRK رو به افزایش است. پیاده‌سازی یک روش بسیار حساس، خاص و ساده در بانک چشم جمهوری اسلامی ایران، تشخیص قرنیه‌های اهدایی با PRK قبلی را امکان‌پذیر نموده و موجب استفاده از قرنیه آن‌ها برای تهیه لنتیکول‌های از پیش برش داده شده برای کراتوپلاستی اندوتیال گردیده است. بررسی مشخصات ضخامتی بافت‌های PRK از پیش برش داده شده در مطالعه ما، ضخامت مناسب در قسمت مرکزی و افزایش نامتقارن ضخامت در قسمت‌های محیطی لنتیکول‌ها را نشان داد که به لحاظ بالینی اهمیتی ندارد.

### منابع

- Lee WB, Jacobs DS, Musch DC, et al. Descemet's stripping endothelial keratoplasty: Safety and outcomes: A report by the American Academy of Ophthalmology. *Ophthalmology* 2009;116:1818-1830.
- Terry MA, Ousley PJ. Small-incision deep lamellar endothelial keratoplasty (DLEK): Six-month results in

کراتوپلاستی اندوتیال تهیه شده از چشم‌های PRK بر روی نتایج دید و نتایج انکساری بیماران پس از عمل جالب خواهد بود که باید در مطالعه دیگری بررسی گردد.

تشخیص Ablation سطحی ناشی از PRK قبلی در اهداکنندگان قرنیه، زمانی که هیچ سابقه یا تاریخچه ناشناخته‌ای از جراحی انکساری در مصاحبه خانواده وجود نداشته باشد، دشوار بود.<sup>۱۵</sup> با این حال، با ابداع یک روش بسیار حساس و خاص برای غربالگری چشم‌ها در بانک چشم جمهوری اسلامی ایران<sup>۱۶</sup>، تشخیص PRK قرنیه‌های اهداکننده دیگر دشوار نیست. این روش غربالگری، برای کارشناسان بانک چشم که با چشم‌های اهداشده کار می‌کنند، بی‌خطر، ساده و ارزان بوده و منحنی یادگیری کوتاهی دارد.

میانگین ضخامت مرکزی قرنیه چشم‌های PRK شده قبل از برش با میکروکراتوم و انتقال به Optisol در مطالعه ما، ۶۵/۳ میکرومتر با حداقل ضخامت ۵۲۰ میکرومتر بود. در تنها قرنیه PRK گزارش شده توسط مشیرفر و همکاران<sup>۱۷</sup>، ضخامت مرکزی قرنیه ۴۸۷ میکرون گزارش شد. در مطالعه آن‌ها، ضخامت مرکزی قرنیه اهدایی با PRK قبلی در حالی که قرنیه بر روی یک محفظه قدامی مصنوعی نصب شده بود، اندازه‌گیری شد. در صورتی که ضخامت مرکز قرنیه در مطالعه ما بر روی چشم کامل انجام گرفت. در مطالعه ما، میانگین عمق برش ۴۷۳ میکرومتر و میانگین ضخامت باقی‌مانده کف پس از عبور میکروکراتوم ۳۵۰ یا ۴۰۰ میکرومتری، ۱۲۸ میکرومتر بود. در گزارش مشیرفر، ضخامت کف بعد از عبور میکروکراتوم ۳۰۰ میکرومتری توسط پاکی‌متري نوری غیرقابل اندازه‌گیری و عمق برش نیز نامشخص بود. آن‌ها برای اندازه‌گیری ضخامت قرنیه نیز از OCT استفاده نکرده بودند.<sup>۱۸</sup> یکی از نگرانی‌های استفاده از قرنیه‌های اهدایی با PRK قبلی، ممکن است اثرات بالقوه کاربرد میتومایسین ۰ حین عمل جراحی PRK بر سلول‌های اندوتیال قرنیه باشد. آیا قرار گرفتن در معرض میتومایسین ۰ در طول PRK اثرات نامطلوبی بر روی سلول‌های اندوتیال قرنیه می‌گذارد، معلوم نیست.<sup>۱۹-۲۳</sup> در برخی مطالعات، کاهش قابل توجه سلول‌های اندوتیال پس از قرار دادن

the first prospective clinical study. *Cornea* 2005a;24:59-65.

3. Terry MA, Ousley PJ. Deep lamellar endothelial keratoplasty. Visual acuity, astigmatism, and endothelial survival in a large prospective series. *Ophthalmology* 2005b; 112:1541-1548.

4. Ousley PJ, Terry MA. Stability of vision, topography, and endothelial cell density from 1 year to 2 years after deep lamellar endothelial keratoplasty surgery. *Ophthalmology* 2005;112:50-57.
5. Terry MA, Ousley PJ. In pursuit of emmetropia: Spherical equivalent refraction results with deep lamellar endothelial keratoplasty (DLEK). *Cornea* 2003;22:619-626.
6. Price MO, Price FW Jr. Descemet's stripping with endothelial keratoplasty. Comparative outcomes with microkeratome dissected and manually dissected donor tissue. *Ophthalmology* 2006;113:1936-1942.
7. Gorovoy MS. Descemet-stripping automated endothelial keratoplasty. *Cornea* 2006;25:886-889.
8. Kanavi MR, Javadi MA, Javadi F, et al. Preparation of pre-cut corneas from fresh donated whole globes for Descemet's stripping automated keratoplasty: 3-year results at the Central Eye Bank of Iran. *Cell Tissue Bank* 2014;15:369-372.
9. Woodward MA, Titus M, Mavin K, et al. Corneal donor tissue preparation for endothelial keratoplasty. *J Vis Exp* 2012;64:e3847.
10. Terry MA. Endothelial keratoplasty: A comparison of complication rates and endothelial survival between pre-cut tissue and surgeon-cut tissue by a single DSAEK surgeon. *Trans Am Ophthalmol Soc* 2009;107:184-193.
11. Kitzmann AS, Goins KM, Reed C, et al. Eye bank survey of surgeons using pre-cut donor tissue for descemet stripping automated endothelial keratoplasty. *Cornea* 2008;27:634-639.
12. Ple-Plakon PA, Shtein RM. Trends in corneal transplantation: Indications and techniques. *Curr Opin Ophthalmol* 2014;25:300-305.
13. Kanavi MR, Javadi MA, Motevasseli T, et al. Trends in Indications and Techniques of Corneal Transplantation in Iran from 2006 to 2013; an 8-year Review. *J Ophthalmic Vis Res* 2016;11:146-152. Eye Bank Association of America. Medical Standards. 2009:14-18.
14. Moshirfar M, Khalifa YM, Davis D, Fenzl CR, Espandar L, Chang JC, et al. Descemet stripping automated endothelial keratoplasty using donor corneas with previous laser *in situ* keratomileusis or photorefractive keratectomy: A case series and donor cap histopathology. *Cornea* 2012;31:533-537.
15. Kanavi MR, Javadi MA, Chamani T, et al. Screening of donated whole globes for photorefractive keratectomy. *Cornea* 2011;30:1260-1263.
16. Kuo IC Trends in refractive surgery at an academic center: 2007-2009. *BMC Ophthalmol* 2011;11:11.
17. Kanavi MR, Nemati F, Chamani T, et al. Measurements of donor endothelial keratoplasty lenticles prepared from fresh donated whole eyes by using ultrasound and optical coherence tomography. *Cell Tissue Bank* 2017;18:99-104.
18. Morales AJ, Zadok D, Mora-Retana A, et al. Intraoperative mitomycin and corneal endothelium after photorefractive keratectomy. *Am J Ophthalmol* 2006;142:400-404.
19. Nassiri N, Farahangiz S, Rahnavardi M, et al. Corneal endothelial cell injury induced by mitomycin-C in photorefractive keratectomy: Nonrandomized controlled trial. *J Cataract Refract Surg* 2008;34:902-908.
20. Diakonis VF, Pallikaris A, Kymionis GD, et al. Alterations in endothelial cell density after photorefractive keratectomy with adjuvant mitomycin. *Am J Ophthalmol* 2007;144:99-103.
21. Zhao LQ, Wei RL, Ma XY, et al. Effect of intraoperative mitomycin-C on healthy corneal endothelium after laser-assisted subepithelial keratectomy. *J Cataract Refract Surg* 2008;34:1715-1719.
22. Sia RK, Ryan DS, Edwards JD, et al. The U.S. Army Surface Ablation Study: Comparison of PRK, MMC-PRK, and LASEK in Moderate to High Myopia. *J Refract Surg* 2014;30:256-264.